

Figura 6.59 Perfiles de las deformaciones laterales de la segunda etapa de carga bajo succión constante ( $u_a - u_w = 0.02 \text{ MPa}$ ). Trayectoria H-I, TISO-1.

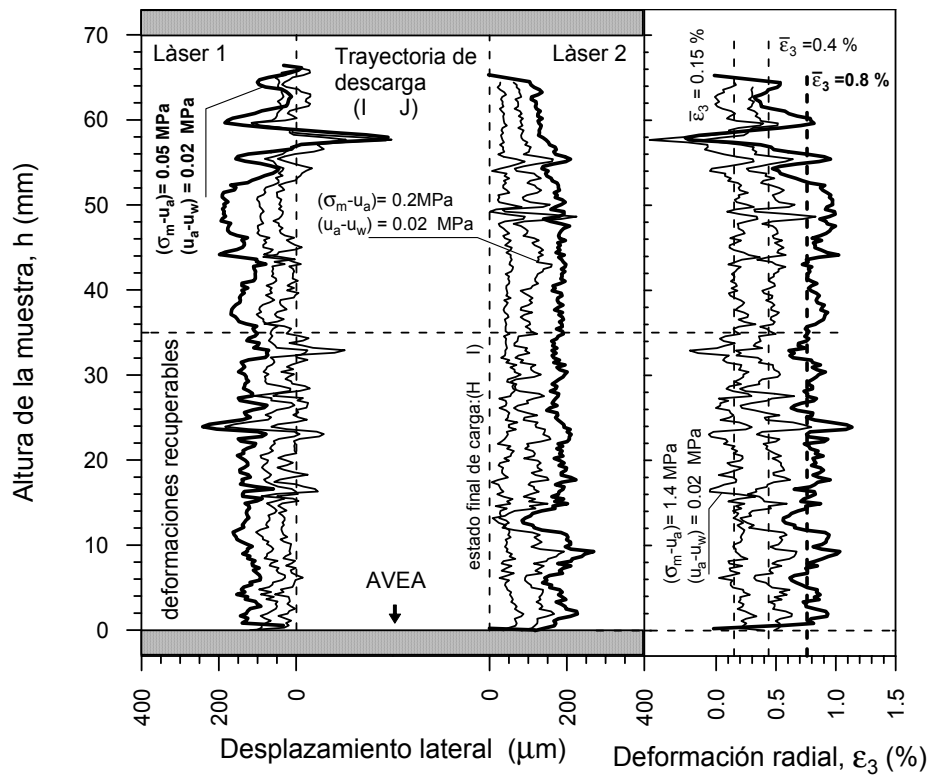


Figura 6.60 Perfiles de las deformaciones laterales recuperables de la descarga final del ensayo bajo succión constante ( $u_a - u_w = 0.02 \text{ MPa}$ ). Trayectoria I-J, TISO-1.

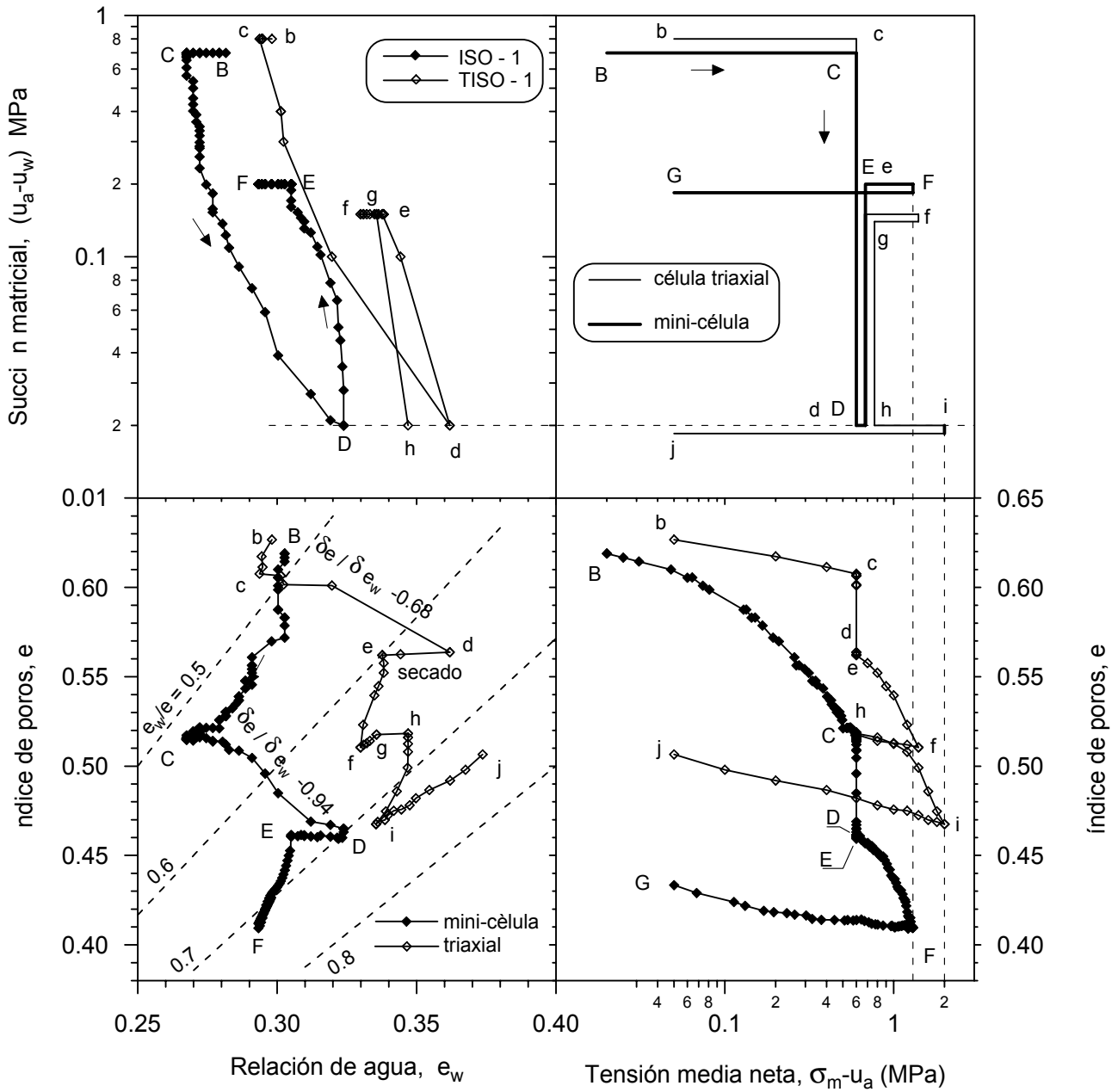


Figura 6.61 Resultados isotrópicos obtenidos con la mini-célula y célula triaxial, representados en el plano  $s : (\sigma_m - u_a) : e_w : e$ . Ensayos ISO-1 y TISO-1.

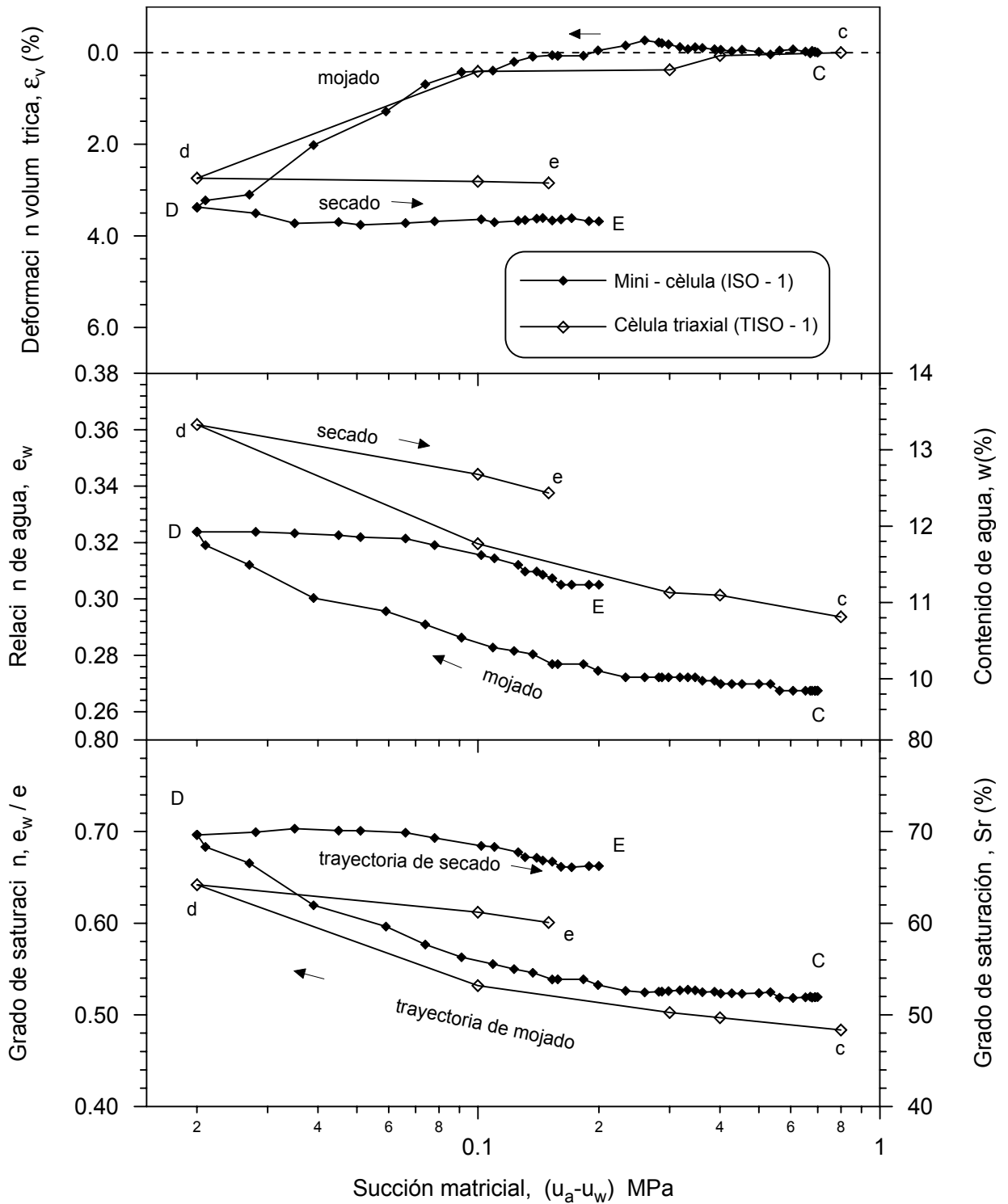


Figura 6.62 Variación de la deformación volumétrica y cambios en contenidos de agua y grados de saturación en un ciclo de humedecimiento-secado bajo tensión media constante ( $\sigma_m - u_a = 0.6$  MPa). Ensayos ISO-1 y TISO-1.

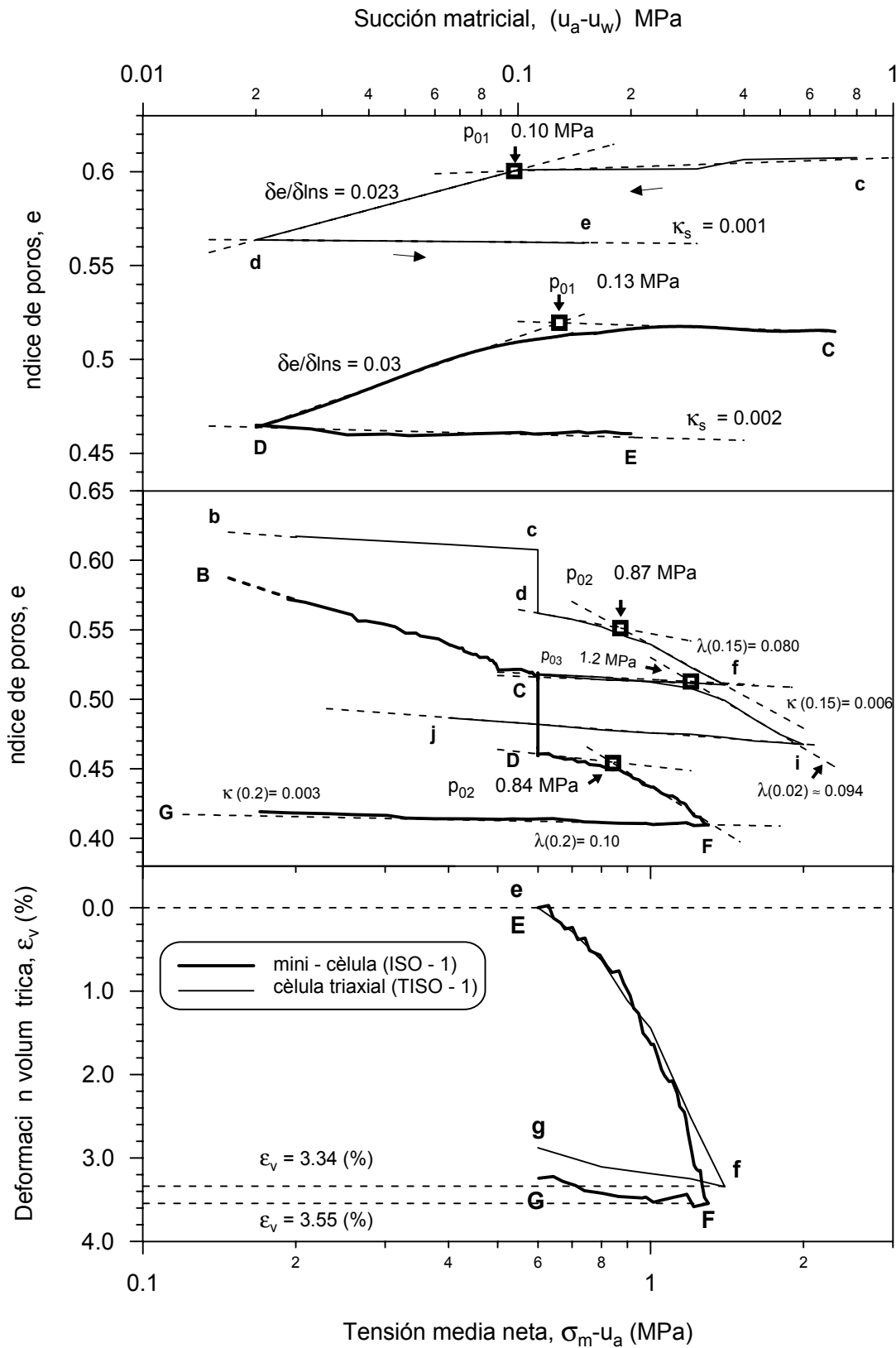


Figura 6.63 Representación gráfica de la obtención de los parámetros en ciclos de carga–descarga y humedecimiento–secado. Ensayos ISO-1 y TISO-1.